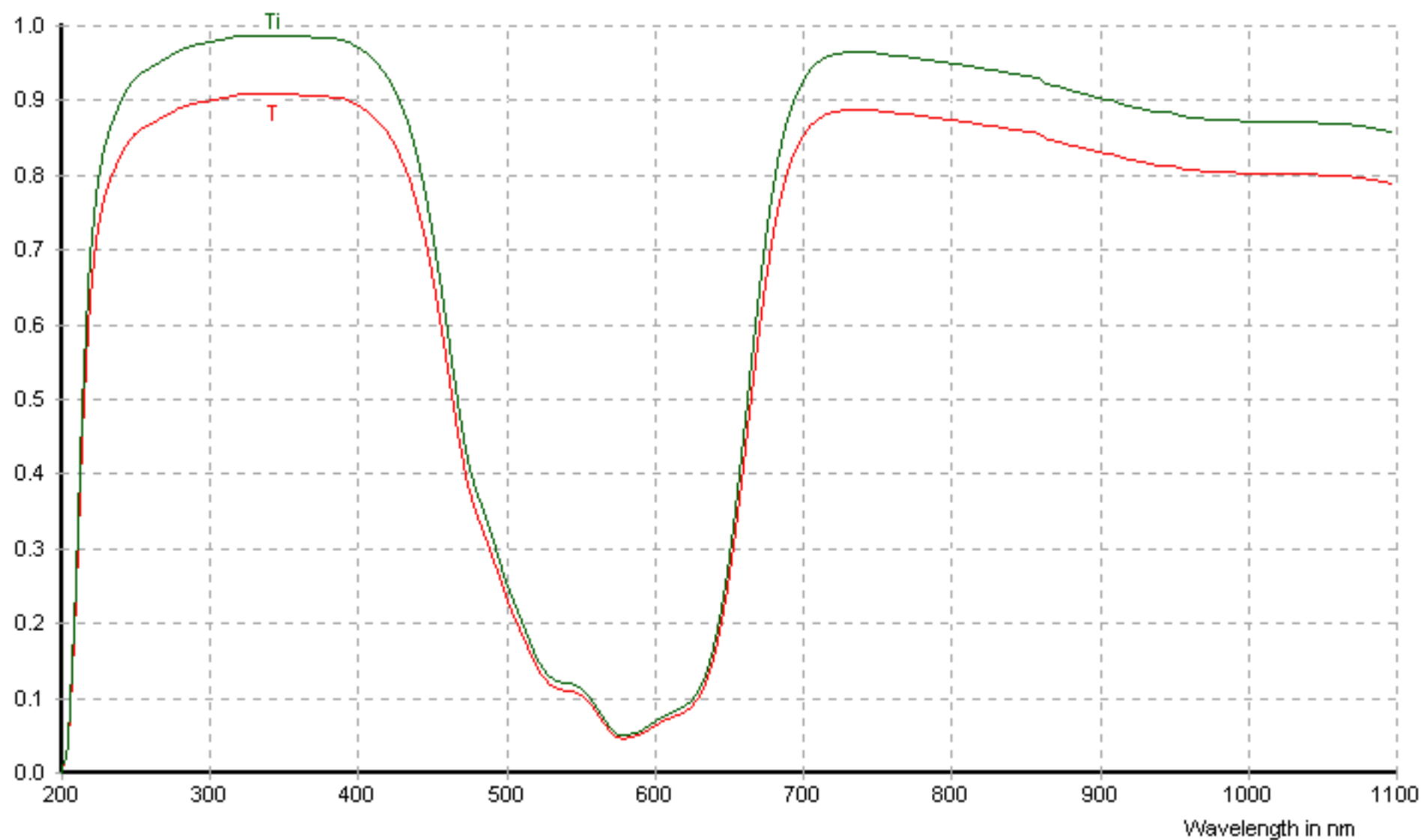


Thickness in mm : 1.0  
Wavelength in nm :  
Transmittance :  
Internal Transmittance :

**BG 24A**

**SCHOTT**  
TOTAL CUSTOMER CARE



<b>Reflection factor</b>	
$P_d$	0.92
<b>Bubble content</b>	
Bubble class	1
<b>Chemical resistance</b>	
FR class	0
SR class	3.0
AR class	2.0

<b>Density</b>	
$\rho$ [g/cm <sup>3</sup> ]	2.72
<b>Transformation temperature</b>	
$T_g$ [°C]	460
<b>Thermal expansion</b>	
$\alpha_{-30/+70^\circ\text{C}}$ [10 <sup>-6</sup> /K]	8.5
$\alpha_{20/300^\circ\text{C}}$ [10 <sup>-6</sup> /K]	9.7
<b>Temperature coefficient</b>	
$T_k$ [nm/°C]	

Per DIN 58191      BP 342/253  
Per DIN 58191

Ionically colored glass

**Limit values of  $\tau_i$**   
for thickness  $d^1 = 1$  mm

Wave-length [nm]	Limits	Value from catalog curve
254	$\geq 0.84$	0.94
365	$\geq 0.95$	0.99
488	$\leq 0.41$	0.34
633	$\leq 0.24$	0.12

**Refractive index n**

$\lambda$ [nm]	Element	n
253.7	Hg	1.59
365	Hg	1.55
587.6	He	1.53
1014	Hg	1.52

**Tristimulus values**

	d [mm]	x	y	Y	$\lambda_d$ [nm]	$P_e$
A	1	0.329	0.243	11	443	0.42
2856	2	0.260	0.110	2	-579	0.76
K	3	0.243	0.065	1	-578	0.90
	5	0.238	0.047	0	-578	0.96
3200	1	0.294	0.219	11	453	0.48
	2	0.230	0.092	2	-577	0.78
K	3	0.217	0.052	1	-577	0.90
	5	0.213	0.035	0	-576	0.96
D <sub>65</sub>	1	0.199	0.129	13	461	0.67
	2	0.173	0.048	3	449	0.90
	3	0.171	0.026	1	441	0.95
	5	0.173	0.016	0	430	0.97

**Application notes**

Band pass filter  
- see section 6.7.3

[ !! ]

Long-term changes in the polished surface are possible  
- see section 5.5

∇

Transmission changes are possible under the action of intense ultraviolet radiation  
- see section 8.3

Status June 1997

**Transmittance  $\tau$  and internal transmittance  $\tau_i$  at  $d = 1$  mm**

$\lambda$ [nm]	$\tau$	$\tau_i$	$\lambda$ [nm]	$\tau$	$\tau_i$
200	$2 \cdot 10^{-4}$	$2 \cdot 10^{-4}$	700	0.85	0.92
210	0.20	0.22	710	0.87	0.95
220	0.63	0.69	720	0.88	0.96
230	0.77	0.84	730	0.89	0.97
240	0.82	0.90	740	0.89	0.97
250	0.85	0.93	750	0.89	0.96
260	0.87	0.94	760	0.88	0.96
270	0.88	0.96	770	0.88	0.96
280	0.89	0.97	780	0.88	0.96
290	0.90	0.97	790	0.88	0.95
300	0.90	0.98	800	0.87	0.95
310	0.90	0.98	850	0.86	0.93
320	0.91	0.99	900	0.83	0.90
330	0.91	0.99	950	0.81	0.88
340	0.91	0.99	1000	0.80	0.87
350	0.91	0.99	1060	0.80	0.87
360	0.91	0.99	1100	0.79	0.86
370	0.91	0.99	1200	0.70	0.76
380	0.91	0.98	1300	0.63	0.69
390	0.90	0.98	1400	0.63	0.69
400	0.89	0.97	1500	0.63	0.68
410	0.88	0.96	1600	0.63	0.69
420	0.86	0.94	1700	0.65	0.71
430	0.82	0.90	1800	0.65	0.71
440	0.77	0.83	1900	0.67	0.73
450	0.68	0.74	2000	0.69	0.75
460	0.56	0.61	2100	0.70	0.76
470	0.44	0.47	2200	0.70	0.76
480	0.35	0.38	2300	0.67	0.73
490	0.30	0.32	2400	0.66	0.72
500	0.24	0.26	2500	0.63	0.68
510	0.19	0.21	2600	0.57	0.62
520	0.15	0.16	2700	0.52	0.56
530	0.12	0.13	2800	0.27	0.29
540	0.11	0.12	2900	0.08	0.09
550	0.11	0.12	3000	0.04	0.04
560	0.09	0.09	3200	0.006	0.007
570	0.06	0.06	3400	0.002	0.002
580	0.05	0.05	3600	0.002	0.002
590	0.05	0.06	3800	0.002	0.002
600	0.06	0.07	4000	$6 \cdot 10^{-4}$	$6 \cdot 10^{-4}$
610	0.07	0.08	4200	$2 \cdot 10^{-4}$	$2 \cdot 10^{-4}$
620	0.08	0.09	4400	$4 \cdot 10^{-4}$	$4 \cdot 10^{-4}$
630	0.10	0.11	4600	$6 \cdot 10^{-4}$	$6 \cdot 10^{-4}$
640	0.15	0.16	4800	$5 \cdot 10^{-4}$	$5 \cdot 10^{-4}$
650	0.25	0.27	5000	$6 \cdot 10^{-4}$	$7 \cdot 10^{-4}$
660	0.40	0.43	5200	$2 \cdot 10^{-4}$	$2 \cdot 10^{-4}$
670	0.57	0.62			
680	0.71	0.78			
690	0.80	0.87			